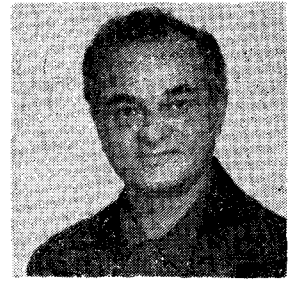


# Visszacsatolt oszcillátorok zajbecslése

BÍRÓ VIKTOR  
Finommechanikai Vállalat



## ÖSSZEFOGLALÁS

A jelen közlemény a visszacsatolt oszcillátorokra érvényes, az AM, PM és FM termikus zaj becslésére szolgáló formulákat prezentálja. A becslés alapjául az a feltételezés szolgál, hogy a zajforrás feszültsége egy keskenysávú stacionárius Gauss-féle sztochasztikus folyamattal írható le.

## 1. Bevezetés

Ezen közleményben az ún. visszacsatolt oszcillátor AM és FM zajának meghatározásáról lesz szó. Az ismertetett módszer elméleti alapjai megtalálhatók [1], [2] és [3]-ban. Az analízis alapjául szolgáló oszcillátor modelljét az 1. ábrán láthatjuk. A „zajos” nonlinearis erősítőt ( $F$ ) egy „zajmentes”  $G$  erősítő és  $e(t)$  zajfeszültséggel bíró zajgenerátor reprezentálja. A  $K$ -val jelölt lineáris időinvariáns négyfókus, melynek  $K(\omega)$  a feszültségátviteli függvénye, az oszcillátor visszacsatoló hálózata. A továbbiakban feltételezzük, hogy  $e(t)$  zajfeszültség leírható keskenysávú Gauss-féle sztochasztikus folyamattal és a  $G$  erősítő bemenőkimenő feszültségkarakterisztikája harmadfokú polinommal helyettesíthető.

## 2. Az AM, PM és FM zajok becslésére szolgáló képletek

A visszacsatolt oszcillátor AM, PM és FM zajának becslésére, a fenti feltételezések figyelembevételével levezetett képletek az alábbiak:

$$\begin{aligned} \left(\frac{N}{S}\right)_{AM}^{\frac{dBc}{Hz}} &= 10 \log \left( \frac{1}{2} \left| \frac{K'(\omega_0)}{K_r(\omega_0)} \right|^{-2} \right) + \\ &+ 10 \log \left( \frac{S_0}{x_{10}^2} \right) - 20 \log \left( \frac{\pi B_0}{\rho_i} \right) + \\ &+ 10 \log \left[ \frac{S_i(q_i)}{q_i^2} \right]; \end{aligned} \quad (1)$$

$$\begin{aligned} \left(\frac{N}{S}\right)_{FM}^{\frac{dB}{Hz}} &= A_i + 10 \log \left( \left| \frac{K'(\omega_0)}{K_r(\omega_0)} \right|^{-2} \right) + \\ &+ 10 \log \left( \frac{S_0}{x_{10}^2} \right) + 10 \log [S_i(q_i)]; \end{aligned} \quad (2)$$

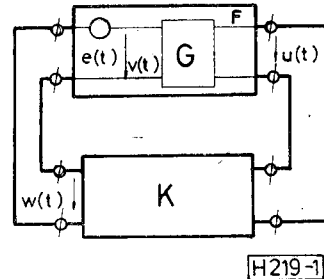
Beérkezett: 1986. VI. 11. (H)

Híradástechnika XXXVIII. évfolyam, 1987. 6. szám

## BÍRÓ VIKTOR

Bíró Viktor 1952-ben végezte el a BME villamosmérnöki karát. 1961-ig a Finommechanikai Vállalatnál dolgozott, ahol mikrohullámú technikával foglalkozott. 1961-ben szerezte meg műszaki kandidátus címét a ferritek mikrohullámú alkalmazása témában. 1972-ig a TKI-ban dolgozott, ahol félvezetők

felhasználásával készülő mikrohullámú áramforrások (főleg varaktoros frekvencia sokszorozók) fejlesztésével foglalkozott. 1975-ben e témában szerezte meg a műszaki tudományok doktori címét. 1985-ben jelent meg „Non linear oscillations in feedback systems” című könyve. Jelenleg a Finommechanikai Vállalatnál dolgozik.



1. ábra. A visszacsatolt oszcillátor áramköri modellje

ahol  $\left(\frac{N}{S}\right)_{AM}^{\frac{dBc}{Hz}}$  a vivő teljesítményéhez viszonyított az oszcillátor kimenő jel zajának teljesítményspektrál sűrűsége 1 Hz szélességű frekvenciasáv-

ban,  $\left(\frac{N}{S}\right)_{FM}^{\frac{dB}{Hz}}$  pedig a 140 kHz frekvencia löketel rendelkező jelhez viszonyított kimenő jel FM spektrálsűrűsége 1 Hz-es szélességű sávban.  $K'(\omega_0)$  a  $K(\omega)$  függvény  $\omega$  szerinti deriváltja az  $\omega = \omega_0$  helyen.  $K_r(\omega_0)$  a  $K(\omega)$  függvény reális része az  $\omega = \omega_0$  helyen.  $\omega_0$  az oszcillátor körfrekvenciája.  $S_0/x_{10}^2$  kifejezést az alábbi egyenlőtlenség határozza meg

$$(F-i) \frac{2kT}{P_{in}} \leq \frac{S_0}{x_{10}^2} \leq F \frac{2kT}{P_{in}} \quad (3)$$

ahol  $F$  a „zajos” erősítő zajtényezője,  $P_{in}$  a nonlinearis erősítő bemenetén lévő teljesítmény,  $k$

a Boltzmann-féle állandó,  $T$  a környezet abszolút hőmérséklete. A  $\rho_i \cdot q_i \cdot A_i$  az alábbiak:

$$\rho_i = \sqrt{2}; i=1$$

$$\rho_i = \sqrt{\gamma n \ln \alpha}; i=2$$

$$q_i = \frac{2|f-f_0|}{B_0}; i=1$$

$$q_i = \frac{2|f-f_0|}{B_0} \sqrt{\ln \alpha}; i=2 \quad (5)$$

$$A_i = -103; i=1$$

$$A_i = -103,5; i=2 \quad (6)$$

Az  $S_i(q_i)$  függvény az  $i=1$  és  $i=2$  esetén az alábbi:

$$S_1(q_1) = \frac{1}{4} \int_0^{\infty} \left( \frac{\sin x}{x} \right)^2 \cos(q_1 x) dx +$$

$$+ \sum_{n=2}^{\infty} \frac{[(2n-3)!!]^2}{2^{2n}(n!)^2} \int_0^{\infty} \left( \frac{\sin x}{x} \right)^{2n} \cos(q_1 x) dx; \quad (7)$$

$$S_2(q_2) = \sqrt{\frac{\pi}{2}} \left\{ \frac{1}{4} e^{-\frac{1}{2} q_2^2} + \right.$$

$$\left. + \sum_{n=2}^{\infty} \frac{[(2n-3)!!]^2}{2^{2n}(n!)^2} \frac{1}{\sqrt{n}} e^{-\frac{q_2^2}{2n}} \right\}; \quad (8)$$

ahol

$$n=2; (2n-3)!! = 1$$

$$n=3; (2n-3)!! = 1 \cdot 3$$

$$n=k; (2n-3)!! = 1 \cdot 3 \cdot 5 \cdot \dots \cdot (2k-3)$$

Az  $F$  erősítő kimenő teljesítményének a frekvenciától való függését az állandó bemenő teljesítmény mellett a 2. és 3. ábrán láthatjuk. A 2. ábrán levő frekvenciafüggésnél  $i=1$ . A 3. ábrán vázolt függés esetén  $i=2$  és a kimenő teljesítmény  $P_{out}$  frekvenciafüggése az alábbi:

$$P_{out} = P_o \exp \left\{ -4 \left( \frac{f-f_0}{B_0} \right)^2 \ln \alpha \right\}; \quad (8a)$$

Az (1) képlet által szolgáltatott eredmény érvényes  $PM$  zaj esetére is amennyiben az értéke  $\text{Rad}^2/\text{Hz}$ -ben értendő.

### 3. Az (1) és (2) formulák levezetése

A  $v(t)$  és  $e(t)$  feszültségek kifejezései legyenek az alábbiak

$$v(t) = x_1(t) \cos[\omega_0 t + x_2(t)]$$

$$e(t) = x_e(t) \cos[\omega_0 t + y_e(t)] \quad (9)$$

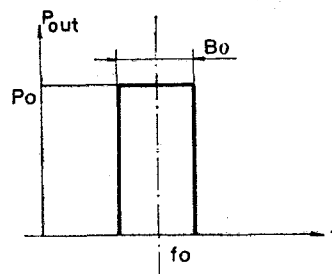
Az  $x_1(t)$  és  $x_2(t)$  függvények az alábbi tulajdonságokkal rendelkeznek

$$\frac{1}{x_1} \frac{dx_1}{dt} \ll \omega_0; \quad \frac{dx_2}{dt} \ll \omega_0$$

Ugyanez áll az  $x_e(t)$  és  $y_e(t)$  függvényekre is. Legyen

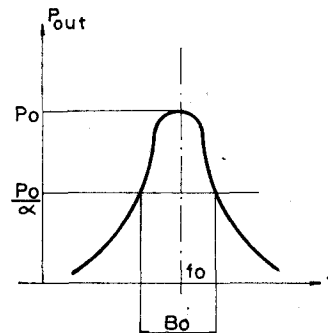
$$x_1(t) = x_{10} + y_A;$$

$$x_2(t) = x_{20} + y_\psi; \quad (10)$$



[H219-2]

2. ábra. A nonlinearis erősítő frekvencia függése  $i=1$  esetén



[H219-3]

3. ábra. A nonlinearis erősítő frekvencia függései  $i=2$  esetén

ahol  $x_{10}$  és  $x_{20}$  a szabadrezgés állandó amplitúdója illetve fázisa „zajmentes” esetben. Az  $x_{20}$  értéke valószínűségi változó, melynek várható értéke zérussal egyenlő és  $p(x_{20})$  eloszlás sűrűsége  $(2\pi)^{-1}$ . Az  $y_1$  és  $y_\psi$  sztochasztikus folyamatok zérus várható értékkel. A következőkben az alábbi rövidítéseket használjuk:

$$y_a = \frac{y_A}{x_{10}}; \quad x(t) = \frac{x_e(t)}{x_{10}} \quad (11)$$

Felhasználva 2.1 és 2.2 pontokat [3]-ból megkapjuk a „zajos oszcillátor” differenciál egyenletét.

$$\frac{d}{dt} \begin{pmatrix} y_a(t) \\ y_\psi(t) \end{pmatrix} =$$

$$\frac{x(t)}{|K'(\omega_0)|^2} \cdot \left\langle \left( a - \frac{9}{4} c x_{10}^2 \right), \left( a - \frac{3}{4} c x_{10}^2 \right) \right\rangle^{-1} \times$$

$$\times K'(\omega_0) \cdot A(x_{20}) \cdot \begin{pmatrix} \cos[y_e(t) - y_\psi(t)] \\ \sin[y_e(t) - y_\psi(t)] \end{pmatrix}$$

$$K'(\omega_0) = \frac{d}{d\omega} \left( \frac{K_i(\omega) K_r(\omega)}{K_r(\omega) - K_i(\omega)} \right) \Big|_{\omega=\omega_0} \quad (12)$$

$$A(x_{20}) = \begin{pmatrix} \cos x_{20} \sin x_{20} \\ \sin x_{20} - \cos x_{20} \end{pmatrix}$$

A (12) differenciál egyenletben  $\langle \dots \rangle^{-1}$  egy diagonál mátrix reciprokját jelenti, az  $a$  és  $c$  értékek értelmét az alábbi az erősítő bemenő-kimenő

feszültség-karakterisztikáját meghatározó polinom adja

$$u(t) = av(t) - bv^2(t) - cv^3(t)$$

A (12) differenciálegyenlet segítségével meghatározhatók az  $y_a(t)$  és  $y_\varphi(t)$  idő szerinti deriváltjainak az ún. korrelációs függvényei [1], [2].

Ezen függvények a következők:

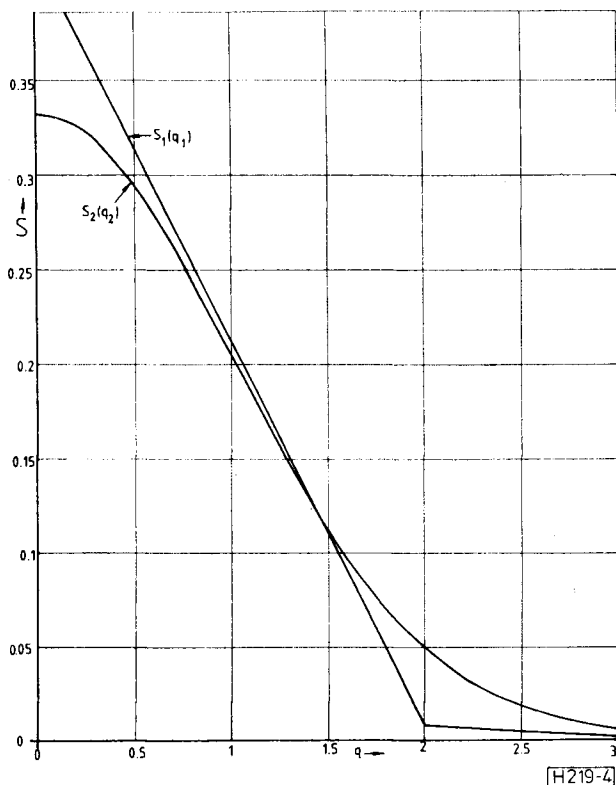
$$\begin{aligned} \begin{pmatrix} R\dot{y}_a(t, t-\tau) \\ R\dot{y}_\varphi(t, t-\tau) \end{pmatrix} = & \quad (13) \\ \frac{1}{2} \left| \frac{K'(\omega_0)}{K_r(\omega_0)} \right|^{-2} \cdot E\{x(t) \cdot x(t-\tau) \cdot \cos[y_e(t) - & \\ -y_\varphi(t) - y_e(t-\tau) + y_\varphi(t-\tau)]\} \cdot \begin{pmatrix} \xi^{-2}[1-3(1+\xi^{-1})]^{-2} \\ 1 \end{pmatrix} & \end{aligned}$$

A (13) kifejezésben  $R\dot{y}_a$  az  $y_a$  deriváltjának korrelációs függvénye,  $R\dot{y}_\varphi$  az  $y_\varphi$  deriváltjának korrelációs függvénye,  $E\{\cdot\}$  jelölés várható értéket jelent,  $\xi$  jelentése  $\xi = aK_r(\omega_0)$ . Ha figyelembe vesszük, hogy  $x(t)$  egy stacionárius sztochasztikus folyamat, továbbá feltételezzük, hogy fennáll

$$\cos\{[y_e(t) - y_\varphi(t)] - [y_e(t-\tau) - y_\varphi(t-\tau)]\} \cong 1;$$

a (13) helyett a következő kifejezés adódik:

$$\begin{aligned} \begin{pmatrix} R\dot{y}_a(\tau) \\ R\dot{y}_\varphi(\tau) \end{pmatrix} \cong \frac{1}{2} \left| \frac{K'(\omega_0)}{K_r(\omega_0)} \right|^{-2} \times & \\ \times R_x(\tau) \cdot \begin{pmatrix} \xi^{-2}[1-3(1+\xi^{-1})]^{-2} \\ 1 \end{pmatrix}; & \quad (14) \end{aligned}$$



4. ábra. Az  $S_1(q_1)$  és  $S_2(q_2)$  függvények

A (14) kifejezésből közvetlenül [1], [2] következik, hogy a spektrálsűrűségekre fennáll az alábbi kifejezés:

$$\begin{aligned} \begin{pmatrix} S\dot{y}_a(\Omega) \\ S\dot{y}_\varphi(\Omega) \end{pmatrix} \cong & \\ \cong \frac{1}{2} \left| \frac{K'(\omega_0)}{K_r(\omega_0)} \right|^{-2} S_x(\Omega) \begin{pmatrix} \xi^{-1}[1-3(1+\xi^{-1})]^{-2} \\ 1 \end{pmatrix}; & \quad (15) \end{aligned}$$

Felhasználva [3] 2.1 és 2.2 pontjait, továbbá figyelembe véve egy stacionár folyamat és idő szerinti deriváltjának spektrálsűrűségei között fennálló ismert összefüggést megkapjuk az alábbi kifejezéseket, ahol  $S_{y_0}$  az 1. ábrán levő erősítő kimenő feszültségének amplitudójára vonatkozó teljesítmény spektrálsűrűsége

$$\begin{aligned} S_{y_0} \cong \frac{1}{2} \left| \frac{K'(\omega_0)}{K_r(\omega_0)} \right|^{-2} \cdot \frac{S_x(\Omega)}{\Omega^2} & \\ S_{\dot{y}_\varphi} \cong \frac{1}{2} \left| \frac{K'(\omega_0)}{K_r(\omega_0)} \right|^{-2} S_x(\Omega) & \quad (16) \end{aligned}$$

(mert [3] szerint fennáll  $y_0 = \xi[1-3(1+\xi^{-1})]y_a$ .)

Az  $S_x(\Omega)$  spektrálsűrűsége abból a szándékosan leegyszerűsített fizikai képből határozzuk meg, mely szerint az erősítő kimenetén mérhető zaj spektrálsűrűségének frekvenciafüggése megegyezik az erősítő bemenetén levő (lásd 1. ábrát) helyettesítő zajgenerátor spektrálsűrűségének frekvenciafüggésével. A keskenysávú normál eloszlású stacionárius  $e(t)$  sztochasztikus folyamat  $x_e(t)$  amplitudójának korrelációs függvényét [2]-ben (335. old. (8.31) kifejezés) találhatjuk. Elvégezve a fenti korrelációs függvény meghatározásához szükséges matematikai műveleteket a 2. és 3. ábrán feltüntetett frekvenciafüggés esetére megkapjuk ezekhez az esetekhez tartozó  $S_x(q_1)$  illetve  $S_x(q_2)$  spektrálsűrűségekre vonatkozó relációkat. Ezen relációk a következők (az  $S_0$  az erősítő bemenetén levő zajteljesítmény maximális spektrálsűrűségének a fele)

$$S_x(q_1) = 2 \frac{S_0}{x_{10}^2} S_1(q_1) \quad (17)$$

$$S_x(q_2) = \sqrt{\pi} \frac{S_0}{x_{10}^2} S_2(q_2) \quad (18)$$

Az  $S_1(q_1)$  és  $S_2(q_2)$  függvények (7) és (8) szerint kiszámíthatóak (lásd 4. ábrát).

Kiindulva (16) kifejezésekből, felhasználva (17) vagy (18), valamint (5) megkapjuk (1) és (2) képleteket. A (3) egyenlőtlenség alsó határát abban az esetben használjuk, amikor a visszacsatoló hálózat kimenő impedanciájának (az erősítő bemenete felőli részén) reális része  $f_0$  frekvencia nagyon kis környezetében (az erősítő átviteli sávjához képest) zérustól különböző. Az ellenkező esetben (például, ha a visszacsatoló hálózat illesztett hullámvezető) a (3) egyenlőtlenség felső határát kell használnunk. A fenti állítás belátását az olvasóra bizzuk.

#### 4. Egy egyszerű példa zajbecslésre

Vegyük például az alábbi paraméterekkel rendelkező oszcillátort: a vivő frekvenciája 4 GHz, az erősítő  $B_0$  sáv szélessége 50 MHz, az erősítő zajtényezője 25 dB, az erősítő bemenő teljesítménye 50 mV, a visszacsatoló hálózat egy  $Q_t = 200$  terhelt jósági tényezőjű rezonátor. Ebben az esetben a visszacsatoló hálózat  $K(\omega)$  feszültség átviteli tényezője az alábbi

$$K(\omega) = \Gamma(1 + \Omega_1)^{-1}$$

$$\Omega_1 = \eta Q_t$$

$$\eta = \frac{\omega}{\omega_0} - \frac{\omega_0}{\omega} \quad (19)$$

A (19) kifejezésekben szereplő  $\Gamma$  a rezonátor csatolásától függő tényező. Elvégezve a szükséges matematikai műveleteket megkapjuk az (1) és (2) formulákban levő alábbi tényezőt.

$$\left| \frac{K'(\omega_0)}{K_r(\omega_0)} \right|^{-2} = \frac{\omega_0^2}{4Q_t^2} \quad (20)$$

Kiindulva a példánkban adott paraméterekből felhasználva az (1) és (2) formulákat és feltételezve, hogy a környezet hőmérséklete 25 °C az alábbi táblázatban leírt zajokat kapjuk.

$(f-f_0)_{\text{Hz}}$ :	$10^3$	$10^4$	$10^5$	$10^6$	$10^7$	$3 \cdot 10^7$
$\left(\frac{N}{S}\right)_{AM} \frac{dBc}{Hz}$	— 87	—107	—127	—147	—168	—180
$\left(\frac{N}{S}\right)_{FM} \frac{dB}{Hz}$	—114	—114	—114	—114	—116	—118

A táblázatban foglalt értékek az  $i=1$ -hez tartoznak. Az  $i=2$ -höz tartozó számok abszolút értékei durván 1,5-tel nagyobbak.

#### IRODALOM

- [1] *W. B. Davenport, W. L. Boot*: An introduction to the theory of random signals and noise MCGraw-Hill, 1958.  
 [3] *V. Bíró*: Nonlinear oscillations in feedback systems, Akadémiai Kiadó, Budapest, 1985.